

V-48 PC部材の中間定着部補強に関する23の考察

神戸大学 工学部 正員・藤井 学

、 、 桜井春輔

、 、 北村泰寿

§1. まえがき

本文は、PC部材の切欠き定着および埋殺し定着部付近の応力状態を有限要素法(以下FEMと略記)により求め、この解析結果に基づき、上記定着部補強に関する23の考察を加えたものである。上記定着部付近では応力集中がけん着で、厳密な応力解析はきわめて困難であり、従来ほとんど研究されていない。そこで、まず研究の手始めとして、2次元載荷状態とし、杖端定着の基本性状を調べ、次に、切欠き定着および埋殺し定着部の引張応力発生状況とそれにおよぼす後方作用力の影響を調べた。なお、計算対象供試体は、はり高160cmで、切欠き定着部の形状寸法は、フレシネー工法での、斜角35°の場合を採用した。

表-1 計算供試体種類一覧

§2. 研究計画概要

今回は表-1に示すように26ケースについて計算を行なった。まず、杖端定着(図1a)では、今回用いたエレメントの大きさ(応力集中のけん着と考える部分では1辺5cm)、形状(ほぼ正三角形)での計算値の精度がどの程度かを確かめた。さらに、切欠き、埋殺し定着との関連性をみるため、緊張力の分布中(定着部の大きさ)2βbを変化させ、補強計算に必要な杖軸と直角方向の引張応力σ_y分布を調べた。

切欠き定着では、その補強は、1)緊張杖軸と直角方向引張応力σ_yと、2)切欠き隅角部の引張応力σ_θとに対して行なう必要がある。1)については、杖端定着でのσ_y

ケース No.	材端緊張力 (P=100t)					中間緊張力 (P=100t)			調査事項	
	緊張力×個数	作用位置	l	$\frac{2\beta b}{(\beta)}$	θ	緊張力×個数	2βb	β		
杖端定着	1	P × 1	800mm	0	0°				β	
	2	P/3 × 3	〃	50	〃					
	3	P/5 × 5	〃	100	〃					
	4	P/7 × 7	〃	150	〃					
	5	P/9 × 9	〃	200	〃					
	6	P/3 × 3	〃	50	5°				θ	
	7	P/3 × 3	〃	50	20°					
	8	P/3 × 3	〃	50	35°					
切欠き定着	1	P × 1	100	0	0°				l	
	2	〃	450	〃	〃					
	3	〃	800	〃	〃					
	4	〃	1150	〃	〃					
	5	〃	1500	〃	〃					
	6	〃	100	〃	20°				β	
	7	〃	〃	〃	35°					
	8					P × 1	0	0		
	9					P/3 × 3	50	0.03		
	10					P/5 × 5	100	0.06		
埋殺し定着	1	P × 1	100	0	0°				l	
	2	〃	550	〃	〃					
	3	〃	800	〃	〃					
	4	〃	〃	〃	20°					θ
	5	〃	〃	〃	35°					
	6					P × 1	0	0		
	7					P/3 × 3	50	0.03	β	
	8					P/5 × 5	100	0.06		

との関連性をみるため βb を変化させた。2) については、後方からの緊張力(図-1bのP)によって σ_y がいかに変化するかを調べた。

埋殺し定着では、定着具後方に引張応力 σ_u が生ずるため、その分布状態、後方緊張力Pの σ_u への影響を調べた(図-1c)。なお、今回は埋殺し定着具はとくに考慮せず、すなわち、切込みも設けず、また、弾性定数もコンクリートと同一とした。

なお、緊張力はすべて $P=P_1=100t$ とし、供試体中もすべて $1cm$ とした。エレメントも、3種定着ですべて、応力集中のけん着な部分はほぼ1辺5cm、正三角形とした。

3.3. 計算結果および考察

1. 柱端定着

1) σ_y 分布: 柱端定着の場合のケース① ($\beta=0$) およびケース② ($\beta=0.16$) について、今回のFEMとR. Iyengarによる厳密解との比較を図-2に示す。FEMの場合は各部英における平均応力をプロットしたものである。図-2より、FEMの方が全体的に小さな値を与えている。その傾向は応力の乱れの著しい柱端($x=0$)付近で大きく、 x の増加とともに両者の差は僅小となっている。エレメントの分割法にも問題があったか、充分の精度とはいえないが以下の議論には充分有用と考えられる。

2) β の影響: 図-2より β が大きくなれば、最大引張応力 σ_{ymax} の値は小さくなり、その生ずる位置も隅角内方に移動しており、その傾向は両者で一致している。

2. 切欠き定着

1) 切欠き部の応力状態: 切欠き隅角部附近の主応力 σ_1 の分布およびその方向をケース①について示せば

図-3のようである。図-3から明らかなように、当然ではあるが、切欠き隅角部近傍には切欠き効果により、非常に大きな引張応力が発生しており、この応力は、隅角尖(切欠き底)から遠ざかるにつれて急激に減少している。従って、隅角部補強筋を配置する場合、隅角部に近づけて行なうのが効果的である。P緊張力だけによる主引張応力の方向は、ほぼ鉛直方向となっている。他の影響要因を考慮したこから引張応力分布を正確に求めることにより、切欠き部からのひびわれの発生ないしはその伸張を防止するための合理的補強法が得られるものと考えられる。

2) 切欠き隅角部応力および後方緊張力Pの影響: 以上のように切欠き部においてはPにより、非常に大きな引張応力が生ずるが、この応力が後方(今回は柱端)に定着された緊張力Pに

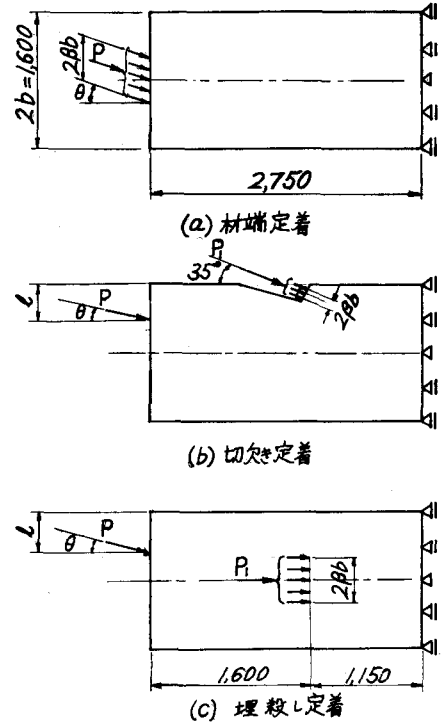


図-1 定着部の種類

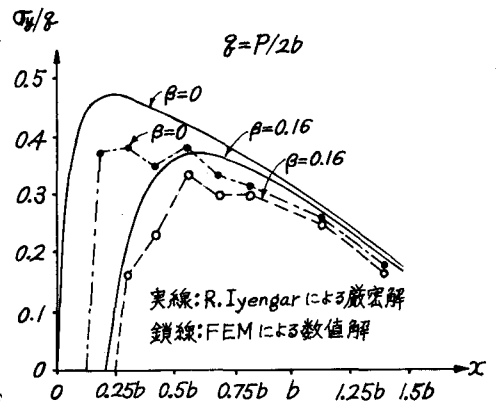


図-2 σ_y の厳密解との比較

よっていかに影響されるかについて調べるため、
 図-4に示す隅角部近傍のある1英すなわち、
 Q筋英の最大主応力 σ_1 に注目する。この英の
 応力は、後方緊張力Pの作用位置あるいは作
 用方向によって、大きく影響されるわけである
 が、図-4は、PとPによるQ英の合成最大主応
 力とPの供試体上縁からの距離 l との関係を
 示したものである。なお、この場合のPはケー
 ス⑩の状態であり、PのみによってQ英に、約
 861 kg/cm^2 の引張応力が生じている(図中1英鎖線)。

まず、Pの作用位置 $l=10\text{cm}$ の場合、合成応
 力 $\sigma_1=-699\text{kg/cm}^2$ となっている。すなわち、Pに
 よって生じた引張応力を打消し、さらに圧縮応
 力が導入されている。それが大きく、すなわち、
 偏心が小さくなると、Q英での圧縮応力は減少
 し、図-4によると、 $l=64\text{cm}$ (A英)では、
 $\sigma_1=0$ となる。A英より右方にPが作用すると
 Pによる引張応力をすべて打消すことができな
 くなり、引張応力が残存している。切欠きによ
 る断面欠損を考慮した断面の下方の核英位置は、
 $l=115\text{cm}$ (B英)であり、当然のことながら、
 図-4から明らかなようにQ英応力にはPは
 影響を与えていない。さらに l が大きくなると
 逆にQ英の引張応力を助長していることも明ら
 かである。

隅角部からのひびわれ発生ないしはその伸張を防止するためには、以上のことから明らかなように、
 少なくとも、後方緊張力、自重、外力等によって隅角部に生ずる応力(切欠きによる断面欠損を考
 慮して通常のはり理論による)を0または圧縮応力となるようにしておく必要がある。筆者らはさらに
 進んで、PとPによる合成応力が0(または圧縮)になるような、すなわち、切欠き部において
 フルアレストレッシング”となるような設計法を現在考案中である。

3) 緊張軸と直角方向の応力 σ_y 分布

切欠き定着の場合、杖端定着と同様、緊張軸と直角方向に引張応力が発生するため、その補
 強が必要である。その補強法として、杖端定着の場合の理論解を利用する簡便法の提案を
 支圧を受けるコンクリートブロック中をいかにとすか同題である。また、切欠き定着の σ_y 分布と杖端
 定着の σ_y 分布との相関性は全く明らかでない。

図-5(a)および(b)は、 σ_y および σ_x 分布を示したものである。図-5(a)においては、緊張杖に沿う

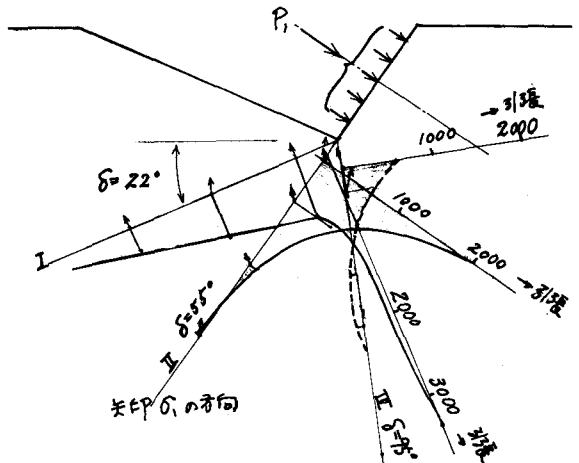


図-3 Pによる切欠き部主応力 σ_1 分布と方向(ケース⑩)

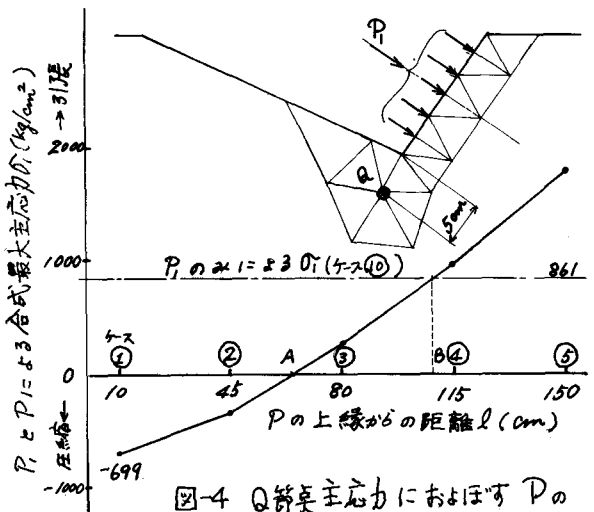


図-4 Q筋英主応力におよぼすPの作用位置の影響

最大主応力 σ_1 の作用方向が緊張軸とほぼ直角であるため、 σ_1 の値を σ_y' として採用した。図5(a)と(b)を対比してみると、かなり分布形が異なる。すなわち、切欠き定着の場合、緊張力の載荷中 $2\beta b=0, 5, 10\text{cm}$ と、大きくなると σ_y' の値が急激に減少しているが、枝端定着の場合、同一の $2\beta b$ で、減少の割合が非常に小さい。この原因は現在明らかでない、多分切欠き定着の場合、有効なコンクリート支承中が非常に小さい、すなわち、支圧力が作用する切欠き面の中(図-5(a)の 2β)程度に小さいためではないかと考えられる。というのは、 $2\beta b=10\text{cm}$ の場合、 $R=10\delta$ で $\sigma_y'_{max} \approx 100\text{kg/cm}^2$ 、供試体中 b が 15cm とすると 7kg/cm^2 程度の引張応力が生じておらず、枝端定着の理論値から推定すると $\beta \approx 1$ でなければならぬからである。いずれにしても、切欠き定着の場合、 $2\beta b \approx 2\beta$ の場合であれば、 $\sigma_y'_{max}$ の値は非常に小さい。

3. 埋殺し定着

埋殺し定着の場合、定着具の直後近辺に相当量の引張応力が生ずるが、後方緊張力によって消滅される傾向は切欠き定着の場合と同様であった。なお、詳細については紙面の都合上ここでは省略し別に報告したい。

§4. あとがき

本文は、中間定着部の補強に関する基礎研究であるが、今後、例之は切欠き定着部の引張応力分布をさらに正確に求め、切欠き定着部の緊張力以外の外力、すなわち、後方緊張力、死荷重等の定着部応力への影響を調べるとともに、局部応力へのクリープの影響、3次元状態への適用性等について究明していく予定である。

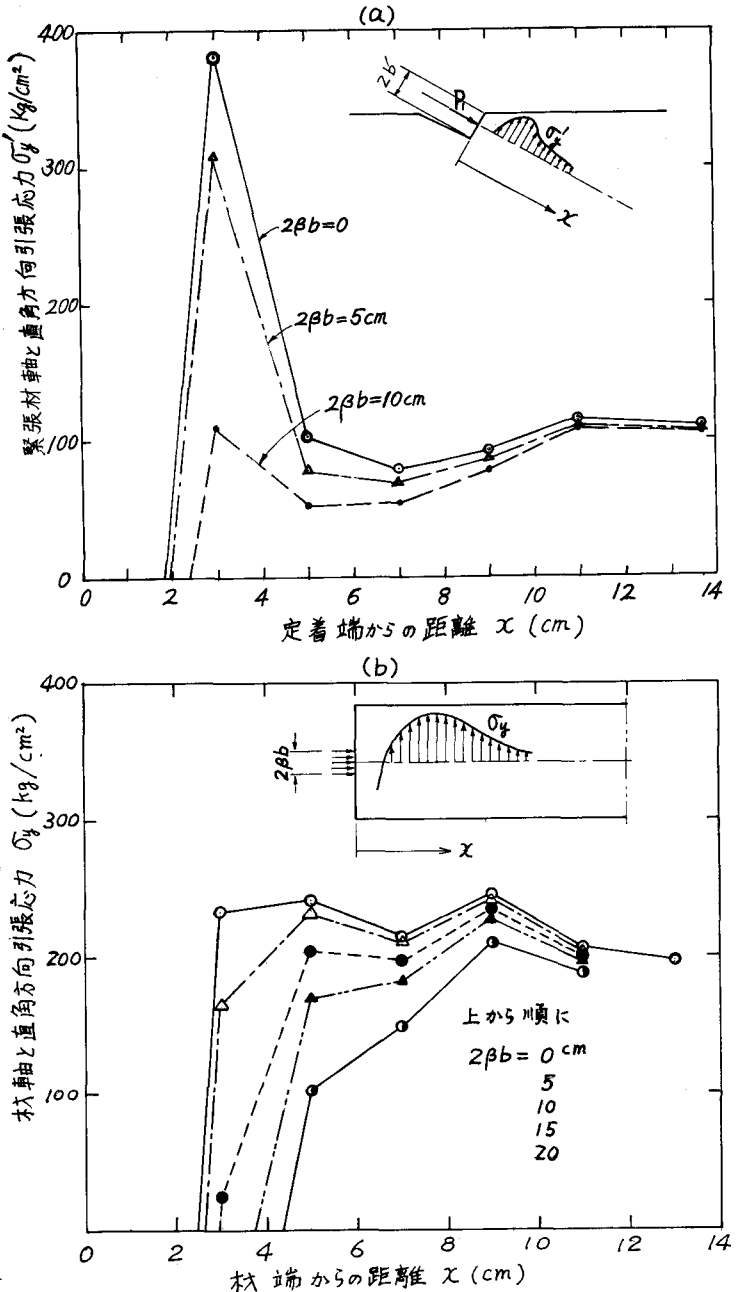


図-5 緊張材軸と直角方向応力分布